- 10. Лищук В.А. Математическая теория кровообращения // М.: Медицина. 1991. 256 с.
- 11. Аринчин Н.И., Петров С.В., Сенько В.В. О некоторых причинно-следственных отношениях при формировании типов саморегуляции кровообращения // Весці Акадэміі Навук Беларусі. Сер. 61 ял. навук. 1996. № 2. С. 95-99.

## МАГНИТНЫЕ СВОЙСТВА КЛЕТОК ПРИ КУЛЬТИВИРОВАНИИ

<sup>1</sup>Петрова Е.А., <sup>1</sup>Терпинская Т.И., <sup>2</sup>Жолудь А.М., <sup>2</sup>Кашевский Б.Э. <sup>1</sup>Институт физиологии НАН Беларуси, Минск,

<sup>2</sup>Институт тепло- и массообмена имени А.В. Лыкова НАН Беларуси, Минск

Введение. Исследование связи функциональных свойств клетки с ее морфологическими, химическими и физическими параметрами является основой для разработки новых методов клеточной биологии. В частности, характеристиками клетки, которые на сегодняшний день мало изучены, являются ее магнитные характеристики. Клетки, как и другие частицы, магнитной восприимчивостью, обусловленной химическим составом и молекулярным состоянием образующих соединений и внутриклеточных структур. На примере эритроцитов показано, что патологические изменения клеток, происходящие при заражении малярийным плазмодием, вызывают изменения их магнитных свойств, обусловленные состоянием гемоглобина [2]. Нами ранее показано, что одним из признаков наличия опухоли в организме экспериментального животного является изменение магнитной характеристики ядросодержащих клеток селезенки [3].

*Цель*: изучение магнитных свойств культивируемых клеток и исследование связи магнитных характеристик клеточной популяции со степенью митотической активности.

Методы исследования. Использовали клетки линии А549 (рак легкого человека) и иммортальные фибробласты человека (ИФ), полученные в Институте цитологии и генетики НАН Беларуси. Клетки пассировали и снимали для экспериментов на 1-й, 3-й (логарифмическая фаза) и 7-й день (стационарная фаза) [4]. К 6-7-му дню культуры достигали 100% конфлюэнтности.

Для количественной характеристики магнитных свойств клеток определяли их магнитофоретическую подвижность (МП) и относительную магнитную восприимчивость (ОМВ) по методу, описанному в [1]. Клетки из этих же проб фиксировали 80% этанолом и хранили при -20°С. Количество ДНК определяли с использованием красителя DAPI на проточном цитофлуориметре FACS Canto II. Распределение клеток по фазам клеточного цикла (G0 и G1; S; G2 и М) анализировали с помощью программы ModFitLT и рассчитывали соотношение клеток, находящихся в фазах G0 и G1, к клеткам, находящимся в фазах G2 и М клеточного цикла (соотношение G1/G2).

Результаты и их обсуждение. Исследуемые культуры различались по скорости роста. Клетки линии A549 быстро пролиферировали уже в первые сутки после пересева (лог-фаза), а культуры ИФ в первый день находились в лаг-фазе. При культивировании клеток пролиферативная активность снижалась по мере увеличения плотности слоя (рис. 1).

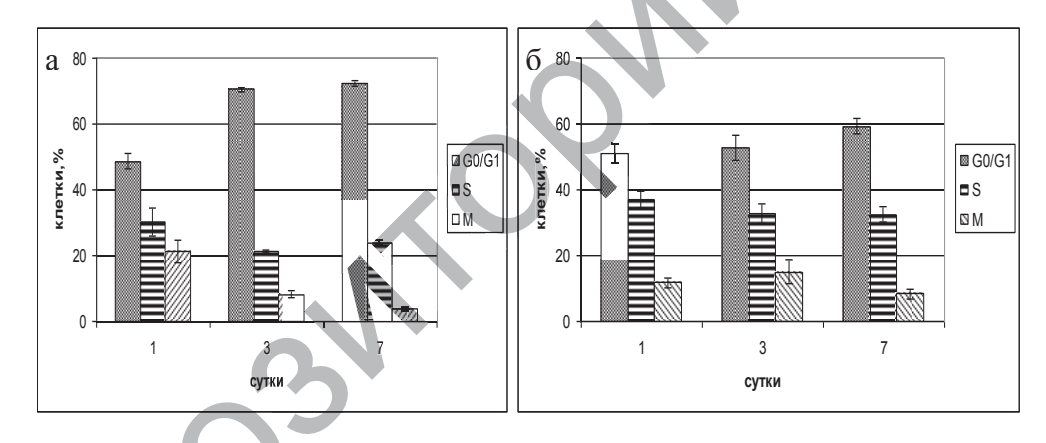
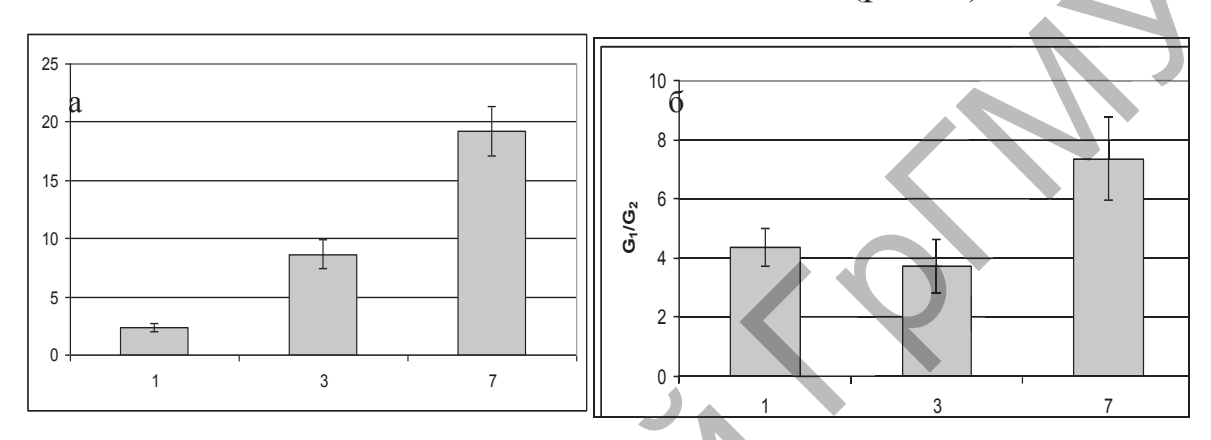


Рисунок 1 – Распределение клеток линии А549 (а) и ИФ (б) по фазам клеточного цикла при культивировании (M±SD)

Так, с 1 по 7 сутки возрастало количество клеток А549 в фазах G0 и G1 с  $48.7\pm2.4\%$  до  $72.2\pm0.8\%$ , падала активность синтеза ДНК в клетках ( $30.0\pm4.3$  и  $24.0\pm0.6\%$ , соответственно), и более чем в 5 раз снижалось количество клеток в фазах G2 и M (с  $21.4\pm3.4\%$  до  $3.8\pm0.4\%$ ), во всех случаях — р<0.05. Аналогичная закономерность в изменении соотношения клеток с различным содержанием ДНК выявлена и для линии ИФ (рис. 16). На 7-е сутки достоверно возрастало до  $59\pm2.5\%$  содержание клеток в фазах G0 (покоящихся) и G1 по сравнению с 1-ми и 3-ми сутками

 $(51,0\pm3,7\ u\ 53\pm3,0\%,\ cooтветственно)$ . Число клеток в G2 и М фазах составляло  $11,9\pm1,5\%$  на 1-е сутки и снижалось к 7-м суткам до  $8,3\pm1,5\%$  (p<0,05). При этом содержание клеток, находящихся в синтетической фазе, существенно не изменялось. Увеличение соотношения G1/G2, характеризующего пролиферативную активность культур, свидетельствовало о снижении интенсивности клеточного деления (рис. 2).



**Рисунок 2** – Соотношение G1/G2 A549 (а) и ИФ (б) на 1-е, 3-и и 7-е сутки роста

Для линии A549 зависимость пролиферативной активности от стадии культивирования была ярко выражена и проявлялась уже к 3-м суткам после пересева, в то время как в культуре ИФ торможение пролиферации наблюдалось к 7-м суткам и было выражено в меньшей степени. По мере роста культур магнитные характеристики клеточной популяции сдвигались в область положительных значений (рис. 3).

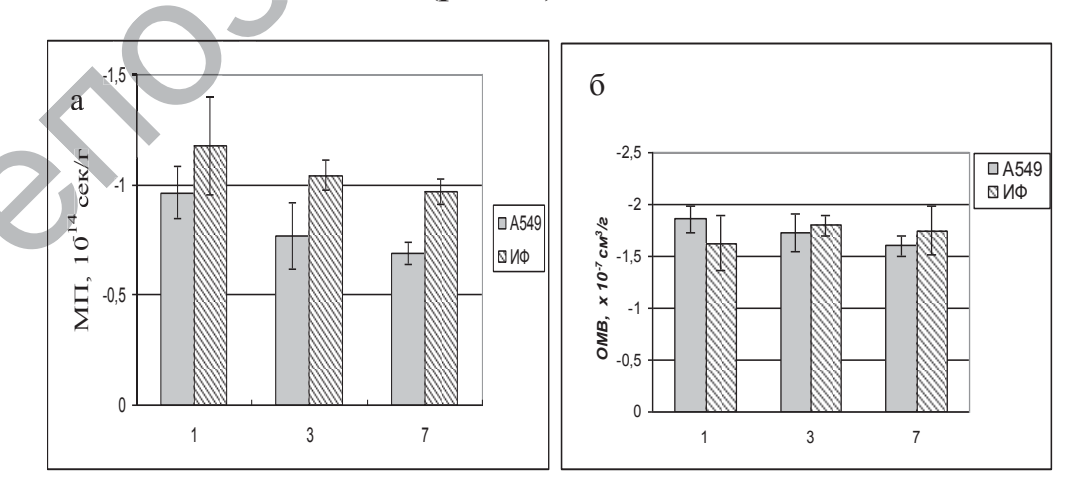


Рисунок 3 — Магнитофоретическая подвижность (а) и относительная магнитная восприимчивость клеток (б) клеток линии А549 и ИФ на 1-е, 3-и и 7-е сутки роста (р<0,05)

МП в обоих случаях возрастала от 1 к 7-му дню культивирования (рис. 3а). Так, МП клеток A549 составляла -  $0.96\pm0.12$  на 1-й день,  $-0.76\pm0.14$  и  $-0.69\pm0.05$ х $10^{-14}$  сек/г на 3-й и 7-й день, соответственно, т.е. клетки становились более парамагнитными. МП культур ИФ изменялась от  $-1.18\pm0.22$  на 1-е сутки, до  $-1.04\pm0.07$  к 3-м и  $-0.97\pm0.06$  х $10^{-14}$  сек/г к 7-м суткам.

ОМВ в первый день роста культуры А549 составила - $1,86\pm0,12$ , на 3-й -1,73 $\pm0,18$ , а на 7-й день роста -1,6 $\pm0,1\times10^{-7}$  $cm^3/\Gamma$  (рис. 3a). ОМВ культур ИФ на 1-е сутки составляла - $1.63\pm0.26$ , на 3-е стуки  $-1.8\pm0.1$ , а на 7-е сутки  $-1.75\pm0.29$  х $10^{-7}$  $cm^3/\Gamma$  (рис. 3б). Выявлена зависимость магнитных свойств клеток А549 от фазы клеточного цикла. Сильная коррелятивная связь обнаружена между соотношением G1/G2 с OMB, а также с МП (коэффициенты корреляции по Спирмену R=0,68 (p<0,05) и R=0.79 (p<0.01), соответственно). Для культуры ИФ также выявлена тенденция к изменению магнитных характеристик в значений сторону более парамагнитных при пролиферативной активности. Однако для этих клеток изменения в соотношении G1/G2 и изменения магнитных свойств по мере роста были выражены слабее, чем для А549.

Выводы. Снижение в ходе культивирования пролиферативной активности клеток сопровождается изменением их магнитных свойств. Клетки становятся более парамагнитными: возрастает их магнитофоретическая подвижность и относительная магнитная восприимчивость.

## ЛИТЕРАТУРА

- 1. Kashevsky B.E., Zholud A.M., Kashevsky S.B. Magnetophoretic trajectory tracking magnetometry: A new technique for assessing magnetic properties of submagnetic microparticles and cells // Rev. Sci. Instruments. 2012. Vol. 83. Art. No 075104 [10 pages].
- 2. Moore L.R., Fujioka H., Williams P.S., Chalmers J.J., Grimberg B., Zimmerman P.A., Zborowski M. Hemoglobin degradation in malaria-infected erythrocytes determined from live cell magnetophoresis // FASEB J. −2006. −Vol. 20, № 6. − P. 747-749.
- 3. Терпинская Т.И., Жолудь А.М. Магнитофоретический анализ клеток селезенки и костного мозга при росте экспериментальной опухоли у мышей // Материалы Международной научной конференции "Фундаментальные науки медицине", г. Минск, 17 мая 2013 г. С. 303-307.
- 4. Культура животных клеток. Методы / Под. Ред. Р. Фрешни. Москва: Мир, 1989. С.62.